

## 密度流におけるコリオリ効果に関する研究

京都大学防災研究所 正員 村本 嘉雄

" " 大西 行雄

" " ○大久保 賢治

[はじめに] 琵琶湖の南湖は、東西2~3km、南北15km程度の水域であるが、この水域で冬季に発生する密度流現象は、地球自転の効果を強く受け、コリオリ項を含まない数値モデルでは誤った評価を与えてしまう。このことを、我々は、本大会の別の講演で指摘する。一般に、表面流系よりも密度流のような内部流系の方が、コリオリ効果を受けやすいことが知られている。本研究では、単純化された条件下での水槽実験と数値実験により、密度流におけるコリオリ効果をパラメータ化しようとする。

[無次元パラメータ] 本研究では、コリオリ効果すなわち回転の効果を、非回転の基本場からの変形として考える立場とする。そこで基礎式を無次元化するにあたり、水平流速および浮力 [ $g(\bar{P}-P)/\bar{P}$ ] の尺度  $\bar{L}$  と  $B$  を、それぞれ  $A^{1/3}L^{1/3}$ ,  $A^{2/3}L^{-2/3}H^{-1}$  ( $A$  は全浮力束、 $L$  は水路横幅、 $H$  は水深) のようにとる。さらに時間の尺度を  $T = L/U$  とすれば、静水圧近似のブーシネ流体の運動方程式は次のようになる。

$$\frac{\partial U}{\partial T} + \{(U \cdot \nabla) U + W \frac{\partial U}{\partial Z}\} + \frac{1}{R_0} \mathbf{k} \times U = -\nabla P + \frac{\delta^2}{Re} \left( \frac{U_h}{U_b} \right) \nabla^2 U + \frac{1}{Re} \frac{\partial^2 U}{\partial Z^2}, \quad \frac{\partial P}{\partial Z} = b$$

ここに、 $R_0 = A^{1/3}L^{-4/3}f^{-1}$ ,  $Re = A^{1/3}L^{-4/3}H^2U_b$ ,  $\delta = H/L$  はそれぞれ“浮力ロスビー数”, “浮力レイノルズ数”, 形状比である。境界条件まで含めて考えれば、現象を支配するパラメータは、上の3つの他に外部フルード数  $F_r = U/\sqrt{gH}$ ,  $U_h/U_b$  (水平, 鉛直渦動粘性係数の比), さらに  $\alpha_h$ ,  $\alpha_r$  (水平, 鉛直渦動プラントル数) がある。また  $R_0/Re = E_v$  (エクマン数) の関係がある。上の7つのパラメータのうち、現在の問題にとって特に重要なものは、 $R_0$ ,  $E_v$  の2つであろう。以下の実験では、これら2つの無次元パラメータの役割が調べられる。

[回転水槽実験] 水槽実験は、直径60cmで反時計回りに回転する回転台上に、底面積30cm × 30cm, 深さ10cmの水槽を載せて行った。水槽の鉛直壁の1面の中央部に、縦4cm, 横7cmの冷却板が埋込まれ、対岸には、同じ面積のヒーターが適宜取付けられた。水温分布は32本のサーミスターで計測、浮力分布に換算された。流れの可視化は、チモールブルーを加えた食塩水の電気分解による。

表-1の実験条件は  $H = 5\text{ cm}$ ,  $L = 7\text{ cm}$  の形状についてのもので、Run 110 は回転がなく、他は回転を与えた場合のものである。表中の  $T_0$  は冷却開始から計測までの無次元時間、 $\Delta$  は無次元浮力の鉛直偏差(水面と底面との差)の水平面内の平均値である。回転の有無にかかわらず、 $\Delta$  の値はほぼ一定しており、上記の無次元化の妥当性がわかる。さて次に、水路幅を熱源幅に拘束するためのアクリル製の枠ならびにヒーターを取り除いて行った  $H = 5\text{ cm}$ ,  $L = 30\text{ cm}$  の形状についての実験

| Run No. | $R_0$ | $E_v$                 | $T_0$ | $\Delta$ |
|---------|-------|-----------------------|-------|----------|
| 110 (2) | 9     | -                     | 19.0  | 25.8     |
| (3)     | 9     | -                     | 4.7   | 27.2     |
| (4)     | 9     | -                     | 19.3  | 29.3     |
| (5)     | 9     | -                     | 31.6  | 29.0     |
| (6)     | 9     | -                     | 14.2  | 27.7     |
| (7)     | 9     | -                     | 25.7  | 25.9     |
| (8)     | 9     | -                     | 37.5  | 27.0     |
| (9)     | 9     | -                     | 42.5  | 26.1     |
| (10)    | 9     | -                     | 7.2   | 25.7     |
| (11)    | 9     | -                     | 11.4  | 25.6     |
| (12)    | 9     | -                     | 28.1  | 27.2     |
| (13)    | 9     | -                     | 45.4  | 26.4     |
| (14)    | 9     | -                     | 49.1  | 26.1     |
| 114 (1) | 12.0  | $4.79 \times 10^{-4}$ | 23.2  | 22.0     |
| (2)     | 10.3  | $4.79 \times 10^{-4}$ | 29.9  | 28.3     |
| (3)     | 9.6   | $4.79 \times 10^{-4}$ | 19.3  | 31.7     |
| (4)     | 9.3   | $4.79 \times 10^{-4}$ | 44.4  | 29.4     |
| (5)     | 8.9   | $4.79 \times 10^{-4}$ | 60.7  | 29.2     |
| (6)     | 8.4   | $4.79 \times 10^{-4}$ | 171.1 | 25.6     |
| 117 (1) | 19.3  | $2.73 \times 10^{-4}$ | 43.0  | 23.6     |
| (2)     | 16.3  | $2.73 \times 10^{-4}$ | 26.7  | 23.0     |
| (3)     | 19.7  | $2.73 \times 10^{-4}$ | 23.4  | 25.0     |

表-1

MURAMOTO YOSHIO, OONISHI YUKIO, OOKUBO KENJI

結果について述べる。点源に近い部分冷却であるから、回転のない場合の底面浮力分布は同心円状になり、流れの方は、等浮力線に直交する面内の鉛直循環となる。これに対して、回転のある場合には、冷却開始後初期に冷源前面で沈降した水が、コリオリ効果によって右側に偏向され、右側の壁面に沿うフロントを形成しながら進行する。(図-1)しかし、フロント通過後の領域では、この縦方向の鉛直循環は維持されず、同図に見られるような横方向の鉛直循環が形成される。一方、浮力分布は、初期に冷水が右側に張出したものとなるが、十分時間が経過すると、非回転の場合のようになるが、回転のない場合と比べて強化される。

[数値実験] 先述の無次元方程式を、鉛直6層分割の3次元数値モデルによって解く。数値実験では、側壁の冷源のみを仮定し、水面を熱源として解が求められた。ここで扱った形状は水路の横幅と長さの比が7/30の場合である。鉛直層分割は、水面から、全水深の5, 20, 50, 70, 95%の各深さで行われた。図-2は、 $E_V$ を固定して  $R_o^{-1}$  を変えた3つのケースについて、上から4層目での、定常状態の水平流と浮力分布を示している。各図の左側の短辺が冷源になっている。 $R_o^{-1}$  の減少とともにない、回転がない場合の縦方向の鉛直循環は、横方向のそれへと偏向されていく。其の小ささのため、偏向された循環面と等浮力線のなす交角は小さく保たれている。ケース3では、鉛直循環面がほとんど横向きになっていて、コリオリ効果の強さを示しているが、一方で等浮力線は、回転のない場合のように、冷源と平行になっている。

[まとめ] コリオリ効果は、密度流の流下を阻害し、縦方向の大きさ浮力勾配を維持する。この効果は、基本的には  $R_o = A^{1/3} L^{-4/3} f^{-1}$  に支配される。回転のない場合の縦方向の鉛直循環面は、 $R_o^{-1}$  が40くらいにまで増加すると、ほぼ直角にまで偏向され、しかもこの流れは、浮力源近傍の狭い水平範囲に閉塞される。

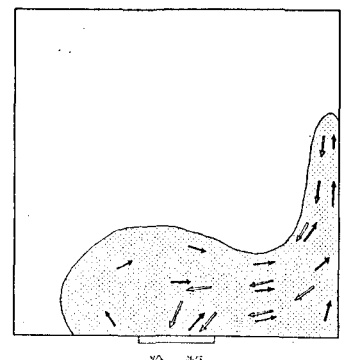


図-1

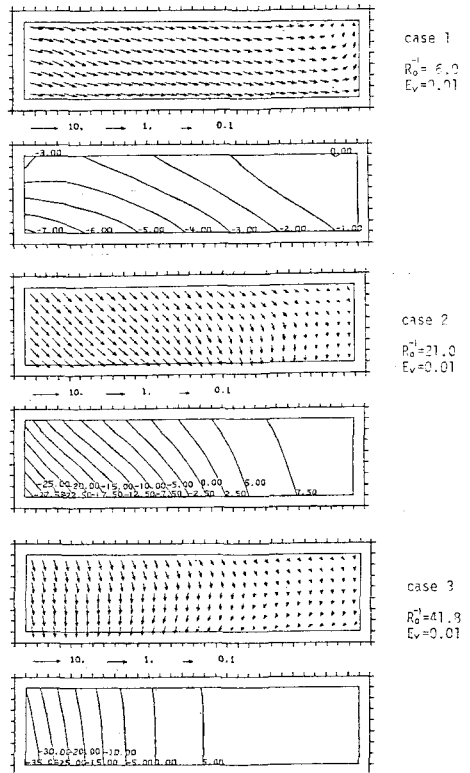


図-2